

سالم وصالح

نظام الريان غير المشبع للبزل الحر تحت الظروف الحقلية لترابة مزيجة طينية غرينية :

II . التنبؤ عن المعدل الزمني للتغير في عمق الماء المخزون في مقد التربة.

سلوم بر غوث سالم
أفراح مهدي صالح

المُسَخْلِص

غير لوح حقى ابعاده ٨م × ٨م يشكل مستتر بالماء لأزباعين يوما، بعدها قطع تجهيز الماء وغطي اللوح لمنع التبخّر من سطح التربة. عدّ وقت اختفاء الماء من سطح التربة بداية البذر ونهاية الغضى. قيس المحتوى المائي بالبطريقة الوزنّية من سطح التربة إلى العمق ١٤٠ سم بفضلة عمق ١٠ سم طبقة ٩٠ يوماً من البذر. اجريت حسول تحليلية إلى المعادلة العامة للدرجات تحت نظرية جهد الجذب الأرضي للتنبّأ عن عمّق الماء الخزون ومعدل التغير في عمّق الماء المخزون كدالةٍ عن عمّق التربة طبليّة فتّرة

النزل باستخدام ثلاثة موال هي $K_m \left(\frac{\theta}{\theta_m} \right)^{1/\beta}$ و $K_m \exp(\alpha(\theta - \theta_m))$ و $k_m \left[\frac{\theta - \theta_r}{\theta_m - \theta_r} \right]^{1/n}$ تربط تحفة بين الأوصالية المالية

The Iraqi Journal of Agricultural Science 39 (4) : 53-62 (2008) salem & saleh

ASSESSMENT OF GRAVITY-DRAINAGE UNSATURATED FLOW UNDER FIELD CONDITIONS FOR A SILTY CLAY LOAM SOIL: II. PREDICTING TIME RATE OF CHANGE IN DEPTH OF STORED WATER IN SOIL PROFILE

SALLOUM B. SALEM AFRAH M. SALEH

ABSTRACT

An 8 by 8m field plot was continuously flooded with water for forty days; the plot was covered then to prevent evaporation after ending water supply. In this study, drainage cycle started when all water infiltrated through soil surface. Gravimetric water content measurements were made from the soil surface to 140cm in 10cm increment during 90 days of drainage. The general flow equation was analytically solved under unit gradient assumptions to predict depth of stored water, and time rate of change in stored water as a function of depth during drainage period

using three functions: $K_m \left(\frac{\theta}{\theta_m} \right)^{1/\beta}$, $K_m \exp(\alpha(\theta - \theta_m))$, and $k_m \left[\frac{\theta - \theta_r}{\theta_m - \theta_r} \right]^{1/n}$; that describe the hydraulic conductivity as a function of water content (where K_m is saturated hydraulic conductivity, θ is volumetric water content, and the subscript m , r denote maximum and minimum water content values, and β , α , and n are empirical parameters). When a power function was fitted to describe the log-log relation between depth of stored water and time, straight line trends were obtained with coefficient of determination values ranged from 0.849 to 0.970 for different depths. A close and highly significant 1:1 relationships between measured and predicted values of depth of stored water were obtained during the drainage period with correlation coefficient values of 0.987, 0.989, 0.973 and regression coefficient values of 0.993, 1.126, and 1.124 for the three functions respectively. Measured rate of change in stored water increased with increasing depth of soil profile and ranged from 1.5541 to 17.3955 cm.day⁻¹ during the first time interval and from 0.0001 to 0.037 cm.day⁻¹ during the last time interval for the 10 and 140cm depths respectively. A 1:1 relationships between predicted and measures values of the rate of change in stored water gave regression coefficient values of 0.986, 0.826, 1.966 and coefficient of determination values of 0.889, 0.850, and 0.863 for the three functions respectively. Values of the regression coefficient clearly showed that the first function accurately predicted the rate of change in stored water during drainage period while values of the rate of change in stored water during drainage period were under predicted by the second function and over predicted by the third function.

Part of M. Sc. thesis of the second author

الباحث مسند من رسالة ماجستير للباحث الثاني

المقدمة

منخفضة وتكرار عملية الري بفترات اقل مقارنة بانظمة الري ذات التصريف العالى والتي تتسبب في حصول ضائعات مائية اسفل المنطقة الجذرية(15). تتبع اهمية توزيع الماء في المنطقة غير المشبعة{Vadose zone} من كون الماء الوسيلة الأساسية لنقل المغذيات خلال التربة مما يتطلب اجراءات ميدانية لتحديد او تقدير او التنبؤ عن حركة ومصدر الماء في المنطقة غير المشبعة. ان قابلية التربة على نقل الماء تهم العاملين في العديد من المجالات كثلوث المياه الجوفية وصيانة التربة واستعمالات الاراضي(5).

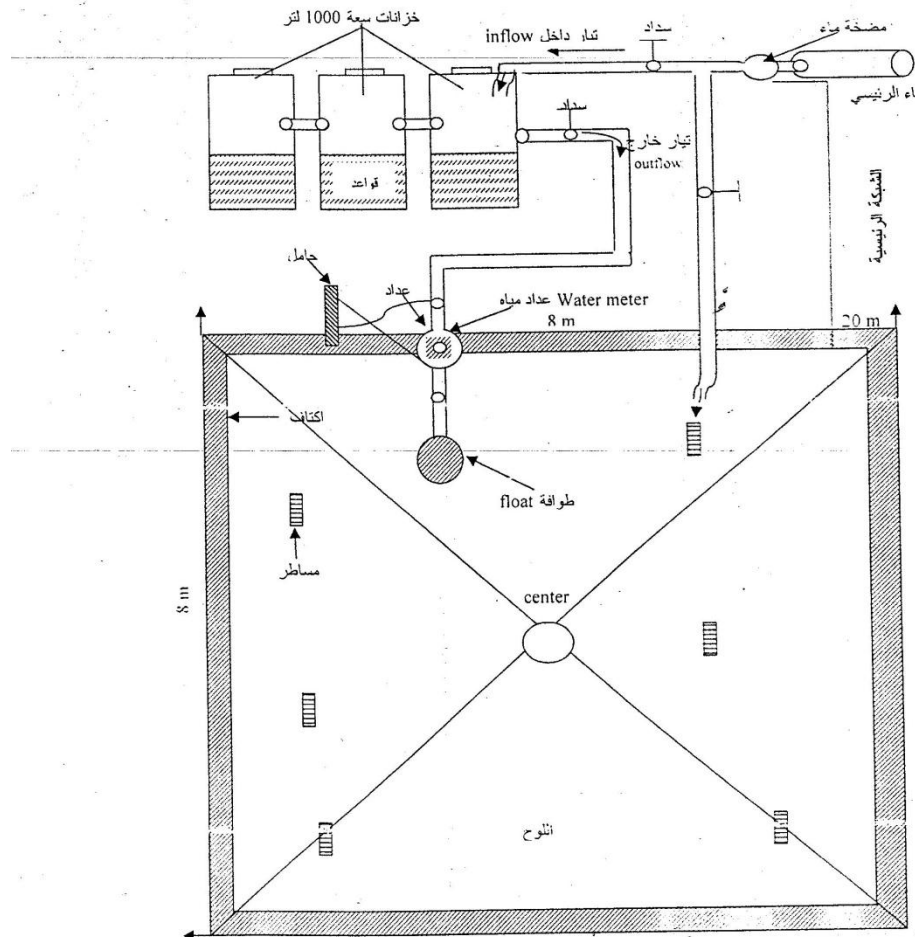
تحقق في العديد من الدراسات الحقيلية والمخبرية مبدأ نظرية وحدة الاندثار في المجه المائي لوصف حركة الماء بالأتجاه العمودي خاصة اثناء البزل الداخلي (7، 16) تهدف هذه الدراسة الى وصف عمق الماء المخزون كذلك الى الزمن للأعماق المختلفة في التربة تحت الظروف الحقيلية والتباين عن المعدل الزمني للتغير في عمق الماء المخزون.

المواد وطرق العمل

نفذت التجربة في حقل كلية الزراعة - جامعة بغداد في تربة مزيجية طينية غرينية تصنف على انها Typic torrefulvent حسب التصنيف الامريكي (17). بعد اجراء الوصف المورفولوجي وتحديد الأفاق لترية موقع الدراسة، تم تحديد لوح حقل ابعاده (8م × 8م). أجريت تسوية طفيفة لسطح اللوح وأحيط اللوح بأكلاف تربوية. صُممَت منظومة الجريان المبينة بالشكل 1 ، لتزويد اللوح بعمود ماء ثابت ارتفاعه 3 سم عن مستوى سطح اللوح طيلة فترة الغمر التي استمرت اربعين يوماً بهدف الوصول الى حالة التوازن بين المحتوى المائي والجيد المائي ، بعد ذلك غطي سطح اللوح مباشرة بطبقتين من البلاستيك وطبققة رقيقة من التربة المنخلولة بهدف منع التبخّر من سطح التربة. بعد وقت اختفاء الماء من سطح اللوح هو نهاية عملية الغمر وبداية عملية البزل. كان عمق الماء الأرضي 10.2م في موقع التجربة خلال فترة الدراسة.

أن الحاله الحرکية ثناء المخزون في مقد التربة تجعل منه صفة تعتمد على عمق التربة والتزمن ما بعد الغير. تحدث عملية غيش الماء تمضاف من خلال سطح التربة الى مقد التربة، تتبع هذه العملية اعادة توزيع الماء المضاف (8). عند اضافة الماء لفترة قصيرة ضوئية للوصول الى حالة التوازن بين المحتوى المائي وتجدد المائي وتنطوي سطح التربة لمنع التبخّر فأن التغيير في عمق ثناء المخزون يحدث نتيجة لحركة الماء الى الأسفل (2). تم التعبير عن العلاقة بين عمق الماء المخزون والتزمن بدالة قسوة من قبل العديد من الباحثين (3، 11، 12، 13). عند محتوى رطوبى اعلى من السعة الحقيلية يحدث انخفاض سريع في عمق الماء المخزون نتيجة حركة الماء الى الأسفل تكون الماء ممسوك بقوى شد ضعيفة ويتحرك في المسامات لاكثر حجماً بتاثير جاذبية الأرض، فقد وجّه Watson and Luxmoore (20) ان 73% من تدفق الماء المشبّع يتم خلال المسامات الكبيرة التي لا تشكّل سوى 6% من حجم التربة، اما في الرمل الناعم فأن 48% من تدفق الماء المشبّع يحدث في المسامات التي تكون فاعلة (مملوءة بالماء) تحت جب 4 الى 0 سم ماء (4). ان سرعة التغيير في عمق الماء المخزون يحدد عمق الأرواء والفترة بين الريات التي تعد من تماريسات الحقيلية المهمة لأدارة ماء الري(14). يعتمد تغير في عمق الماء المخزون مع الزمن على عومن التربة ونطروف المناخية والغطاء الخضرى ولكن عند تنطوي سطح التربة لمنع التبخّر فإن لخصائص التربة خصمة النجدة التأثير المحدد للتغير الزمني في عمق الماء المخزون.

تهدف الممارسات الحقيلية لأدارة ماء الري الى الحفاظ على مستوى رطوبى مناسب خلال خليفة موسم نمو النبات للحصول على نمو ونتاجية مناسبة. يحدد المعدل الزمني للتغير في عمق الماء المخزون في المنطقة الجذرية العلاقة بين اضافة ماء الري والضائعات المائية اذا تقل الضائعات المائية عند استخدام انظمة رى ذات معدلات تصريف



شكل 1. المخطط العام للتجربة

تم قياس المحتوى المائي بالطريقة الوزنية كدالة الى الزمن وعمق التربة للطبقات 0-10 و 10-20 و 20-30 و 30-40 و 40-50 و 50-60 و 60-70 و 70-80 و 80-90 و 90-100 و 100-110 و 110-120 و 120-130 و

اذ ان W :عمق الماء المخزون(سم)، Z :عمق انتربة(سم)، t :زمن القياس(يوم)، θ :المحتوى المائي الحجمي المقاس

حركة الماء بالاتجاه العمودي كما يأنى:

$$\frac{\partial \theta}{\partial t} = \frac{\partial}{\partial z} k_z(\theta) \frac{\partial \psi}{\partial z} \quad (2)$$

تشير k_z و z و t الى الأ يصلية المائية وعمق التربة و الزمن على التوالي.

أختبرت ثلاثة نوال تصف الأ يصلية المائية على انها دالة الى المحتوى المائي ($\theta = f(\theta)$) وهي (Watson 19) و (Brooks and Corey 1964) و (Davidson and Luximon 1969). قدرت عوامل النوال الثلاثة بطريقة تحليل الأنحدار غير الخطى (nonlinear regression) للمعادلات الناجمة من الخطوة الثانية لخوارزمية Lax وتم التبا عن عمق الماء المخزون في مقد التربة دالة الى عمق التربة و الزمن ($w(z,t) = f(z,t)$) من قيم عوامل النوال

حسب المعادلات التالية:

$$w(z,t) = (1 - \beta) \theta_m z \left(\frac{z}{At} \right)^{\beta/(1-\beta)} \text{ Watson, (1967)} \quad (3)$$

$$w(z,t) = \theta_m Z + \frac{z}{\alpha} \left(\ln \left(\frac{z}{At} \right) - 1 \right) \text{ Davidson et al., (1969)} \quad (4)$$

$$w(z,t) = \theta_c z + (1-n) z (\theta_m - \theta_c) \left(\frac{z}{At} \right)^{n/(1-n)} \text{ Brooks and Corey, (1964)} \quad (5)$$

التحديد دالة المطابقة لعمق الماء المخزون في مقد التربة لجميع الأعاق المدروسة. لقد زادت قيمة العامل a مع العميق ذلك لأن قيمة العامل a تمثل عمق الماء المخزون بعد مرور يوم واحد من بداية البزل ($t = 1$ يوم). أما قيمة العامل b فكانت سالبة دالة على أن عمق الماء المخزون يتاسب حكرياً مع الزمن ويزداد بزيادة قيمة العامل a .

ترواحت قيمة معامل التحديد دالة الفوة بين 0.849 و 0.970 وهذا يعني ان الدالة المبينة عواملها في جدول 1 اوضحت 84.9% الى 97.0% من التغير في عمق الماء مع الزمن. بين الجدول 1 عمق الماء المخزون بعد مرور يوم واحد من البزل (مساوية الى قيمة العامل a) عند الأعماق 10 و 20 و 30 و 40 و 50 و 60 و 70 و 80 و 90 و 100 و 110 و 120 و 130 و 140 سم. أما القيم المقابلة لعمق الماء المخزون بعد مرور 1.25 يوم من البزل فكانت 4.7990 و

يمكن كتابة المعادلة العامة للجريان (16) المستخدمة للتبا عن

اذ ان $(\theta, t) = \theta(z, t)$ هي المحتوى المائي الحجمي دالة للزمن وعمق التربة K الأ يصلية المائية، θ الجهد الهيدرولي، t الزمن. تم حل المعادلة 2 تحليلياً تحت نظرية جهد الجذب الأرضي بطريقة مبتكرة لتلك المستخدمة من قبل Sisson واخرون (1964) وحجب خوارزمية Lax (1969) ذات الثلاث خطوات:

1- فاضل الدالة $f(\theta)$ $k = \frac{dk}{d\theta}$ تتحصل على المشقة

2- احلل المقدار $\frac{z}{At}$ محل المشقة $\frac{dk}{d\theta}$.

3- حل ناتج الخصوة 2 للحصول على المتغير t .

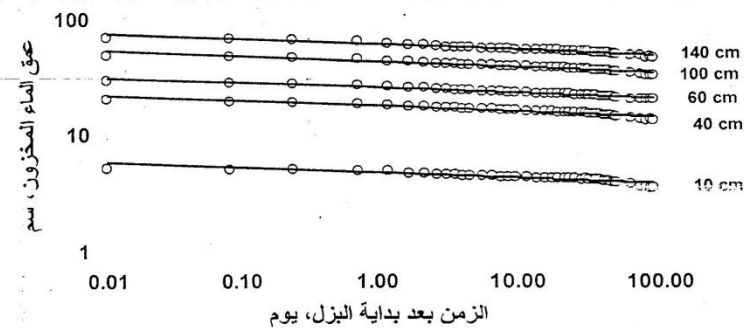
اذ ان θ_m و θ_c هما على واقع محتوى مائي على الترتيب، A هي سرعة جبهة انتجيف (front)، وان β و α و n هي عوامل النوال الثلاثة.

عمق الماء المخزون في مقد التربة
تم وصف عميق الماء المخزون في مقد التربة بدالة مماثلة لتلك المستخدمة من قبل Richards (1964). اخذت هذه الدالة تصيغة $w = at^{-b}$ اذ ان w هو عمق الماء المخزون (سم)، t ازمن (يوم)، a و b ثابتان. عند رسم العلاقة بين عمق الماء المخزون والزمن على مقاييس لوغارتمي تم الحصول على خطوط مستقيمة (الشكل 2). وبين الشكل هذه العرققة دالة المطابقة (الخطوط) والقسم المقاسة (الرموز) لاعماق 10 و 40 و 60 و 100 و 140 سم، كما بين الجدول 1 قيم العددين a و b ومعامل

سماء عبر الأعمق 10 و 20 و 30 و 40 و 50 و 60
و 70 و 80 و 90 و 100 و 110 و 120 و 130 و 140

سم اثناء فترة التريلب. عند الاخذ بنظر الاعتبار
اجراء قياسات المحتوى المائي بفواصل عمق 10 سم اثناء
من سطح التربة ولعمق 140 سم وقيمة عمق الماء الميزول
من العمق 140 سم (26.373 سم) خلال فترة التريلب على عدد
الطبقات (14 طبقة: سمك طبقة القياس 10 سم) فأن معدل
عمق الماء الميزول كان مساويا الى 1.884 سم ماء / 10 سم
عند عم ق التريلب.

و 9.2340 و 13.5942 و 17.8134 و 21.6657 و 38.8879 و 30.0140 و 25.7231 و 34.3416 و 33.8879 و 43.2348 و 47.3533 و 47.3533 و 52.1690 و 56.7863 و 56.7863 و 61.3752 سم للأعماق نفسها على الترتيب. كما اعطت دالة متطابقة فيما مقارنة لعمق الماء المخزون المقاس لمنفذ الأعماق بعد مرور 90 يوما من البيزن. اسهمت حركة الماء في الأسفل بمرور 1.826 و 3.684 و 5.797 و 7.506 و 16.567 و 10.926 و 12.721 و 14.695 و 9.275 و 26.373 و 20.549 و 22.209 و 24.457 و 18.687 و 13.5942 و 17.8134 و 21.6657 و 38.8879 سم للأعماق نفسها على الترتيب.



شكل 2. علاقه Log-Log بين عمق شماء المخزون في مقد التربة للاعماق 10 و 40 و 60 و 100 و 140 سم و الزمن خلال فترة البزل.

جدول 1. قيم عوامل دالة المطابقة ($\alpha_{IT} = 0.7$) ومعامل التحديد لعمق الماء المخزون للأعماق المختلفة لمقد تربة الدراسة خلال 90 يوماً من البذل تحت ظروف اندفاع تتغير من سطح التربة.

١٤٠	١٣٠	١٢٠	١١٠	١٠٠	٩٠	٨٠	٧٠	٦٠	٥٠	٤٠	٣٠	٢٠	١٠	٥
٦٥.٤٤٤	٣٦.٥٣٥	٣٦.٣٧٤	٤٦.٥٦٢	٤٢.٥٦٢	٣٦.٣٣٦	٣٣.٨٩٧	٢٩.٤١٦	٢٥.٣٩٤	٢١.٥٣٣	١٧.٥٤٢	١٣.٥٩٢	٩.١٥٤	٤.٦٦٢	a سوند
-٠٤٦٧	-٠٤٦٧	-٠٤٦٥	-٠٤٧٥	-٠٤٨١	-٠٤٩٣	-٠٤٨٩	-٠٤٣٢	-٠٤٥٥	-٠٤٦٧	-٠٤٧٩	-٠٤٦٥	-٠٤٩١	-٠٤٣٦	b تضليلية
٠.٩٥٠	٠.٩٤٣	٠.٩٣٦	٠.٩٣٤	٠.٩٣٧	٠.٩٢١	٠.٩٢٦	٠.٩٧٠	٠.٩٥٥	٠.٩٤١	٠.٩٠٧	٠.٨٩٠	٠.٨٥٠	٠.٨٤٩	c عامل تضليلي

فإن المعدل الزمني للتغير في عمق الماء المخزون يمثّل ميل العلاقة بين العمق التراكمي للماء المخزون والزمن. تم مطابقة دالة قوة لوصف هذه العلاقة . تراوّح المعدل الزمني للتغير في عمق الماء المخزون خلال الفترة الزمنية الأولى بدءاً من البازل (-0.083 يوم) بـ 1.5542 -

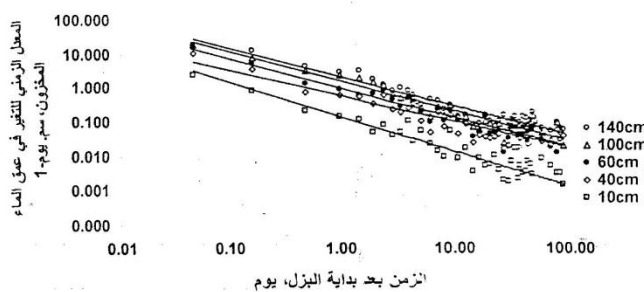
المعدل الزمني للتغير في عمق الماء تخزون في مقد التربة
يشير المعدل الزمني للتغير في عمق الماء تخزون في
مقد التربة الى الفرق في عمق الماء تخزون في مقد التربة.
كتلة لراعم المدرسوسة للتربة موقع اشراسة عند زمني قياس:
متضمنين مقسوما على الفترة الزمنية بين "قياسين" ويعنى آخر

تحديدها بفترة زمنية محددة بعد ربه تقبله، ان قياس المحتوى المائي بعد ثلاثة ايام من الاشباع التام لمقد التربة يمكن ان يعطي مضموناً خاطئاً عن مبدأ السعة الحقلية ذلك لأن التربة يمكن ان تخترق الماء الموجود بوجود جيد جاذبية الارض اعتماداً على عمق القياس والخصائص الرطوبية للتربة، ان هذا المضمون الجديد يتفق مع ما جاء به Bohne و Zachariah (21) ويعتمد على ملحوظة الوصف الرطوبى وعمق التربة، تشير عوامل دالة القوة (جدول 2) الى انحدار سالب للعلاقة بين المعدل الزمني للتغير في عمق الماء والزمن للأعمق المختلفة، تسمى المسامتات الأكبر حجماً في نقل الماء عند المحتويات الرطوبية العالية (الشد العالى)، بسرعة أعلى من المسامتات الأصغر حجماً، وبموجب معادلة الارتفاع الشعري (capillary rise equation) تفرغ المسامتات الأكبر حجماً عند انخفاض الشد نتيجةً لأنخفاض المحتوى المائي بفعل حركة الماء إلى الأسفل، ان عمق الماء المخزون هو دالة ضمنية إلى المحتوى اي ان: $w = f(\theta(z, t))$.

حين تراوح المعدل الزمني للتغير في عمق الماء المخزون خلال الفترة الزمنية الأخيرة من البزل (86-90 يوم) بين 0.0001-0.037 سم يوم⁻¹ لنفس العمقين على الترتيب، ان قيمة هذه الدالة تكون عالية جداً عند بداية عملية البزل حسب الاساس النظري

$$\text{Rate of change} = \lim_{\Delta t \rightarrow 0} \frac{\Delta w}{\Delta t} \equiv \infty$$

يتضح من الشكل 3 حصول زيادة في المعدل الزمني للتغير في عمق الماء المخزون في مقد التربة كدالة إلى العمق بزيادة عمق التربة. وهذه النتيجة متوافقة مع ما وجدته Stone واخرون (18). استمر تدفق البزل عند العمق 140 سم ووصل إلى معدلات واطئة جداً وصلت إلى 10⁻⁴ سم يوم⁻¹ على الرغم من مرور فترة 90 يوم من بداية البزل لكن التربة ذات محتوى طين عالي وصل إلى 46% مما زاد من قدرة التربة على مسح الماء خاصة تحت ظروف انعدام التبخر. تقتصر نتائج هذه الدراسة احدث مبدأ البزل الداخلي لتحديد السعة تخفيضها بـ ٧٪ عن



شكل 3. المعدل الزمني للتغير في عمق الماء المخزون كدالة إلى عمق التربة أثناء فترة البزل لتربة موقع الدراسة تحت ظروف انعدام التبخر من سطح التربة

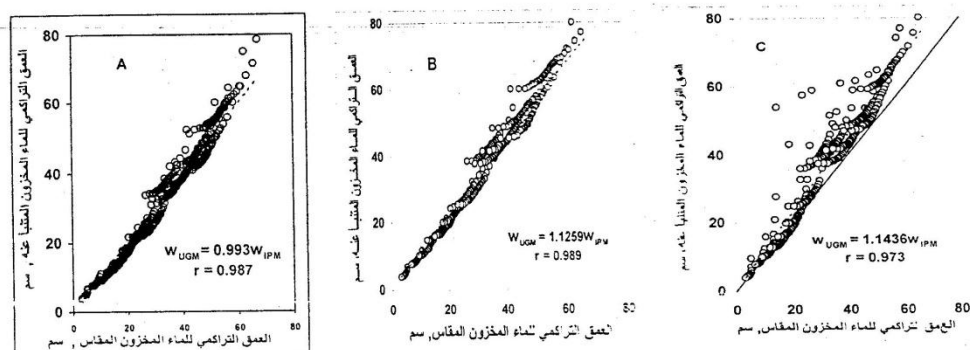
انخفاض المعدل الزمني للتغير في عمق الماء المخزون في مقد التربة انخفضاً حاداً خلال مرحلة البزل المبكرة بعد بداية البزل بعد مرور يوم واحد من انزف.

جدول 2. قيم عوامل دالة القوة ومعامل التحديد للمعدل الزمني للتغير في عمق الماء المخزون للأعماق المختلفة لمقد تربة الدراسة خلال 90 يوما من البزل تحت ظروف اندام التبخر من سطح التربة.

															العمق سم
															عامل دالة
															المطابقة
140	130	120	110	100	90	80	70	60	50	40	30	20	10		معامل التحدید
2.170	2.041	1.844	1.769	1.644	1.141	1.246	1.183	1.002	0.785	0.510	0.481	0.276	0.146	a	عوامل
-8503	-8522	-8363	-8389	-8779	-7983	-8027	-8192	-8518	-7908	-7577	-8495	-7766	-0.0107	b	المطابقة
0.927	0.873	0.858	0.863	0.907	0.838	0.861	0.893	0.883	0.802	0.820	0.779	0.740	0.717		معامل

التنبأ عن عمق الماء المخزون

يبين الشكل 4 علاقة 1:1 (الخط الصد) بين عمق الماء المخزون المقاس اثناء فترة البزل كدالة الى الزمن وعمق التربة و عمق الماء المخزون المتتبأ عنه حسب نظرية وحدة الانحدار في الجهد المائي الذي تم الحصول عليه من المعادلات 3 و 4 و 5 المبينه عواملها في جدول 3. كما يظهر على الشكل خط الانحدار البسيط (الخط المنقط) للعلاقة بين عمق الماء المخزون و المتتبأ عنه. كانت قيم عمق الماء المتتبأ عنه باستخدام طريقة (Lax-Sisson) لحل المعادلات الثلاثة مقاربة جدا الى القيم المقاسة



شكل 4 . علاقة 1:1 (الخط الصد) والانحدار البسيط (الخط المنقط) بين عمق الماء المخزون المقاس للأعماق المختلفة لترابة موقع الدراسة وعمق الماء المخزون تنبأ عنه كدالة للزمن حسب: (A) انموذج Watson (1967) و (B) انموذج Davidson و اخرون(Corey and Brooks (1969) و (C) انموذج Davidson و Brooks (1964).

اعطت الحلول العددية حسب نظرية وحدة الانحدار في الجهد المائي المعادلات التالية للدالة $w(z, t) = w$ للتنبأ عن عمق الماء المخزون للعمق 10 سم

$$w(10, t) = (1 - 0.0675) \times 0.5142 \times 10^{\left[\frac{10}{4.328 \times t} \right]^{0.0724}} \quad \dots \dots \dots \text{Watson}(1967)$$

$$w(10, t) = 0.5142 \times 10 \times \frac{10}{32.964} \left[\ln \left[\frac{10}{4.507 \times t} \right] - 1 \right] \quad \dots \dots \dots \text{Davidson et al.(1969)}$$

$$w(10, t) = 0.3010 \times 10 + (1 - 0.1935)10(0.5142 - 0.3010) \left[\frac{10}{3.793 \times t} \right]^{0.2399} \quad \dots \dots \dots \text{Brooks and Corey (1964)}$$

جدول 3. قيم عوامل الدوال الثلاثة المستخدمة للتتبُّأ عن خواص الإيصالية المائية للتربة موقع الدراسة تحت نظرية وحدة الاتحدار في، الجهد المائي.

عوامل الـ ١١									العمق، سم
Brooks and Corey, (1964)			Davidson etal., (1969)			Watson, (1967)			
R ²	n	A	R ²	α	A	R ²	β	A	
0.814	0.1935	3.79	0.891	32.9640	4.51	0.851	0.0675	4.33	10
0.906	0.1617	33.19	0.938	44.7470	56.57	0.912	0.0524	45.8.58	20
0.883	0.2929	39.54	0.928	44.8700	565.14	0.869	0.0647	164.47	30
0.927	0.2962	269.73	0.967	56.3660	13229.00	0.967	0.0479	4939.60	40
0.911	0.2946	267.23	0.972	47.0380	3632.30	0.957	0.0573	1560.30	50
0.832	0.3174	86.46	0.971	45.4310	1623.80	0.955	0.0570	870.20	60
0.944	0.1851	419.75	0.883	42.4720	636.01	0.84	0.0598	378.90	70
0.904	0.3681	90.32	0.816	40.8980	2015.00	0.814	0.0687	609.86	80
0.941	0.1121	86.44	0.934	51.3010	81.01	0.922	0.0422	78.66	90
0.915	0.1463	882.81	0.867	53.4700	1553.50	0.863	0.0447	1114.60	100
0.908	0.0002	367.26	0.904	46.9930	634.58	0.886	0.0508	467.92	110
0.958	0.1149	541.83	0.998	53.9700	515.54	0.871	0.0437	384.44	120
0.930	0.2149	221.98	0.809	33.7870	262.27	0.922	0.0657	262.47	130
0.894	0.1059	193.49	0.888	56.3540	192.48	0.885	0.0384	186.70	140

وكلما هو واضح من معامل الارتباط فان هنالك توافق عني المعنوية بين القيم المقاسة والممتباً عنها بنظرية وحدة التħarj الجيد. يعتبر عمق الماء المخزون المتاحة في مقدمة التħarrubة دليل مهم للتقويم فهو يدخل في حساب التدفق والاضيئية المائية و الانشارية و الموازنة المائية في مقدمة التħarruba ، و المقننات المائية ، كقاعة الري و نمذحة انتاجية الشخصون لدراسة تطبيقات ادارة المحصول، هذا من جهة، ومن جهة اخرى فان $w(z,t)$ في المعادلات الثلاثة اعنة هي دالة لاكثر من متغير و هي بذلك تعد دالة ضمنية Implicit function

النتيجة عن التغير في عمق الماء المخزون $w=f(\theta, z, t)$

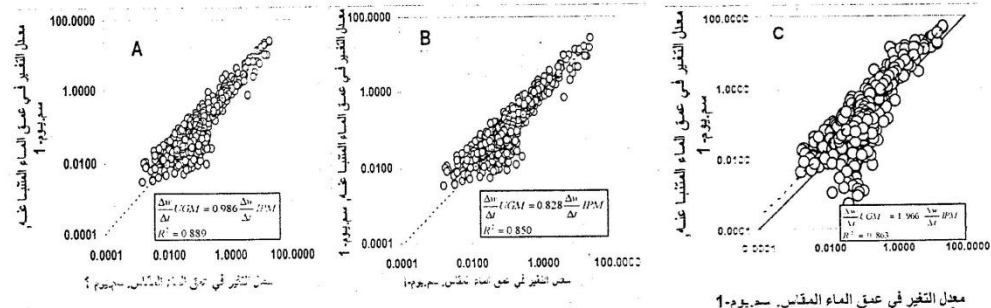
يبين شكل 5 علاقة 1:1 بين المعدل الزمني للتغير في عمق الماء المخزون المقاس $(\frac{\Delta w}{\Delta t} IPM)$ حسب طريقة مقدمة التربة الأولى (Instantaneous Profile Method) و عمق الماء المتبقي عنه $(\frac{\Delta w}{\Delta t} UGM)$ بطريقة وحدة الأحداث في الجهد الثاني (Unit Gradient Method) للأعماق المختلفة.

كان عمق الماء المخزون المتبقياً عنه بعد مرور يوم من البزل هو 5.13 و 5.013 و 5.067 سم للدواش الثلاثة على الترتيب، وحسب هذه النتائج فإن الفرق بين عمق الماء المقاس وألمتنباً عنه كان 0.304 و 0.214 و 0.268 سم للدواش الثلاثة على الترتيب. يشكل هذا الفرق بين القيم المقاسة والمتنبأ عنها نسبة 6.33% و 4.46% و 5.58% من عمق الماء المقاس للطبلة -10 سم بعد مرور 1.25 يوم من بداية البزل. ومن جانب الفيزياء التطبيقية فإن هذه الاختلافات تقع ضمن التغير المكاني الموروث في مسامية التربة الذي قد يصل إلى 40% من المسامية الكلية (10). لقد أوضح Sisson واخرون (16) انه عند غمر التربة بالماء لفترة كافية للوصول الى حالة التوازن بين المحتوى المائي والجهد المائي وتغطية سطح التربة لمنع التبخر فأن حل Lax لا ينطبق في مرحلة البزل المبكرة، وهي الفترة الزمنية المحسورة بين بداية البزل ووصول جبهة التجفيف الى اية نقطة في مقد التربة، على المنطقه في مقد التربة التي يكون عمق التربة فيها مساوباً او اكبر من حاصل ضرب سرعة جبهة التجفيف × الزمن بعد

0.828 وهذا يعني ان القيم المتباينة عنها هي اقل بنسبة $\frac{1}{0.828}$ بمعامل تحديد 0.850. يلاحظ من الشكل 5C ان

غالبية البيانات وقعت على خط 1:1 وهي دلالة على ان القيم المتباينة لل معدل الزمني للتغير في عمق الماء المخزون باستثناء انموذج Corey و Brooks كانت اعلى مقارنة بالقيم المقاسة خاصة عند محتويات رطوبية عالية (بادئاً بالبرازل)، اذ بلغ معامل الانحدار 1.966 بين القيم القاسية و المتباينة عنها للمعدل الزمني للتغير في عمق الماء المخزون وبلغ معامل التحديد 0.863. ان تمور البيانات حول دالة 1:1 يدعم طريقة Lax-Sisson لحل معادلة الجريان تحت نظرية وحدة الانحدار في الجيد المائي للتباين عن المعدل الزمني للتغير في عمق الماء المخزون اثناء البرازل تحت ظروف انعدام التبخر.

ان عدد البيانات المستخدمة في هذا الشكل هو 574 يواقع 41 لكل عمق من الأعمق الأربع عشر المدروسة. يلاحظ من الشكل تطابق دالة 1:1 (الخط الصد) مع خط دالة الانحدار (الخط المنقط) للعلاقة بين المعدل الزمني للتغير في عمق الماء المخزون المقاس ($\Delta W / \Delta t$) و المعدل الزمني $\Delta W / \Delta t$ للتغير في عمق الماء المخزون المتباينة عنه ($\Delta W / \Delta t$) بـأنموذج Watson (شكل 5A) معامل الانحدار 0.984 وهذا يدل على ان قيمة المعدل الزمني للتغير في عمق الماء المخزون المتباينة عنها باستخدام انموذج قريبة جداً من القيم المقاسة الا انها اقل منها بنسبة $\frac{1}{0.984}$ بمعامل تحديد بلغ 0.889. أما في انموذج Davidson و اخرين (شكل 5B) فيلاحظ كذلك تطابق دالة 1:1 (الخط الصد) مع خط دالة الانحدار (الخط المنقط) اذ بلغ معامل الانحدار بين القيم القاسية و المتباينة عنها للمعدل الزمني للتغير في عمق الماء المخزون



شكل 5 : علاقة 1:1:1 (الخط الصد) والانحدار البسيط (الخط المنقط) بين المعدل الزمني للتغير في عمق الماء المخزون المقاس والمتباعدة عنه كدالة للزمن حسب: (A) انموذج Watson (1967) و (B) انموذج Davidson و اخرين (1969) و (C) انموذج Corey و Brooks (1964).

الحق تحت ظروف حصول التبخر من سطح التربة ونمو المحصول لتحديد الموازن المائية في مقد التربة بما فيها الأسهامات الحتملة للماء الأرضي في المقد المائي للنبات ذلك لأمكانية تحديد اتجاه ومعدل سرعة التدفق على اعمق مختلفة من سطح التربة من قياس التغير في الجيد المائي و المحتوى المائي اثناء فترة نمو المحصول.

المصادر

ان الحصول على علاقة ارتباط عالية المعنوية وقيم ميل الانحدار قريبة من واحد بين القيم المقاسة والمتباعدة عنها لعمق الماء المخزون والمعدل الزمني للتغير في عمق الماء المخزون في مقد التربة طيلة فترة 90 يوماً من البرازل يدعم استخدام نظرية وحدة الانحدار في الجيد المائي في تحديد حرکة الماء بالاتجاه العمودي تحت نظرية جهد الجذب الأرضي. كما يرسى تنتهي الى ان هذه الدراية يمكن تطبيقها في

12. Richards, L.A., W.R. Gardner, and G. Ogata. 1956. Physical processes determining water loss from soil. *Soil Sci. Soc. Am. Proc.* 20:310-314.
13. Salem, S. B. 2003. Unsaturated hydraulic characteristics of soil treated and untreated with fuel oil under surge and continuous irrigation. PhD Dissertation. College of Agriculture/ Baghdad University.
14. Schwankl L., B. Hanson, and T Prichard. 1998. Micro-irrigation of trees and vines. Division of agricultural and natural resources. Publication 3378, University of California, Davis, USA, Pp. 63-68.
15. Schwankl, L., and T. Prichard. 1998. How often to irrigate. In L. Schwankl ; B. Hanson, and T. Pricahrd. Micro Irrigation of trees and vines. Division of agriculture and natural resources publications 3378. University of California. Davis, USA. Pp. 59-62.
16. Sisson, J. B., A. H. Ferguson, and M. Th. van Genuchten. 1980. Simple method for predicting drainage from field plot. *Soil Sci. Soc. Am. J.* 44:1147-1152.
17. Soil Survey Staff. 1951. Soil survey manual. UADA. Handbook 18.
18. Stone, L. R., T. C. Olson, and M. L. Horton. 1973. Unsaturated hydraulic conductivity for water management in situ. *Proc. S. D. Acad. Sci.* 52:168-178.
19. Watson, K. K. 1967. The measurement of the hydraulic conductivity of unsaturated porous materials utilizing zone of entrapped air. *Soil Sci. Soc. Am Proc.* 32:716-720.
20. Watson, K.W., and R.J. Luxmoore. 1986. Estimating macro porosity in a forest watershed by use of a tension infiltrometer. *Soil Sci. Soc. Am. J.* 50:578-582.
21. Zacharia, S., and K. Bohne.1998. Replacing the field capacity by an internal drainage approach: A method for homogeneous soil profile. E-mail: zachar@agri.uni.rostock.de. Institute für Bodenkunde, University Rostock, Justus-von-Liebig-weg 6.18051 Rostock, Germany.
1. Brooks, R. H. and A. T. Corey. 1964. Hydraulic properties of porous media. *Hydrol. Pap.* 3.. Colo. State Univ. Fort Collins, USA. pp. 27
2. Chen, C., and W. A. Payne. 2001. Measured and modeled unsaturated hydraulic conductivity of a Walla Walla silt loam. *Soil Sci. Soc. Am. J.* 65:1385-1391.
3. Chong, S. K., R. E. Green, and L. R. Ahuja. 1981. Simple in situ determination of hydraulic conductivity by a power function description of drainage. *Water Resour. Res.* 17:1109-1114.
4. Clothier, B.E., and I. White. 1981. Measurement of sorptivity and soil water diffusivity in a field. *Soil Sci. Soc. Am. J.* 45:241-245.
5. Coquet, Y., C. Coutadeur, C. Labat, P. Vachier, M. Th. van Genuchten, J. Roger-Estrade and J. Simunek. 2005. Water and solute transport in a cultivated Silt Loam soil 1. Field observations. *Vadose Zone J.* 4:573-586.
6. Davidson. J. M., L. R. Stone, D. R. Nielsen and M. E. Larue. 1969. Field measurement and use of soil-water properties. *Water Resour. Res.* 5:1312-1321.
7. Gee, G. W., J. M. Keller, and A. L. Ward. 2005. Measurement and prediction of deep drainage from bare sediments at a semiarid site. *Vadose Zone J.* 4:32-40.
8. Kozak, J. A., and L. R. Ahuja. 2005. Scaling of infiltration and redistribution of water across soil textural classes. *Soil Sci. Soc. Am. J.* 69:816-827.
9. Lax, P. D. 1972. The formation and decay of shock waves. *Am. Math Monthly.* 79:227-241.
10. Minasny, B., J. W. Hopmans, T. Harter, S. O. Eching, A. Tuli and M. A. Denton. 2005. Neural networks prediction of soil hydraulic functions for alluvial soils using multistep outflow data. *Soil Sci. Soc. Am. J.* 69:816-827.
11. Ogata, G., and L.A. Richards. 1957. Water content changes following irrigation of bare-field soil that is protected from evaporation. *Soil Sci. Soc. Am. Proc.* 21:355-356.